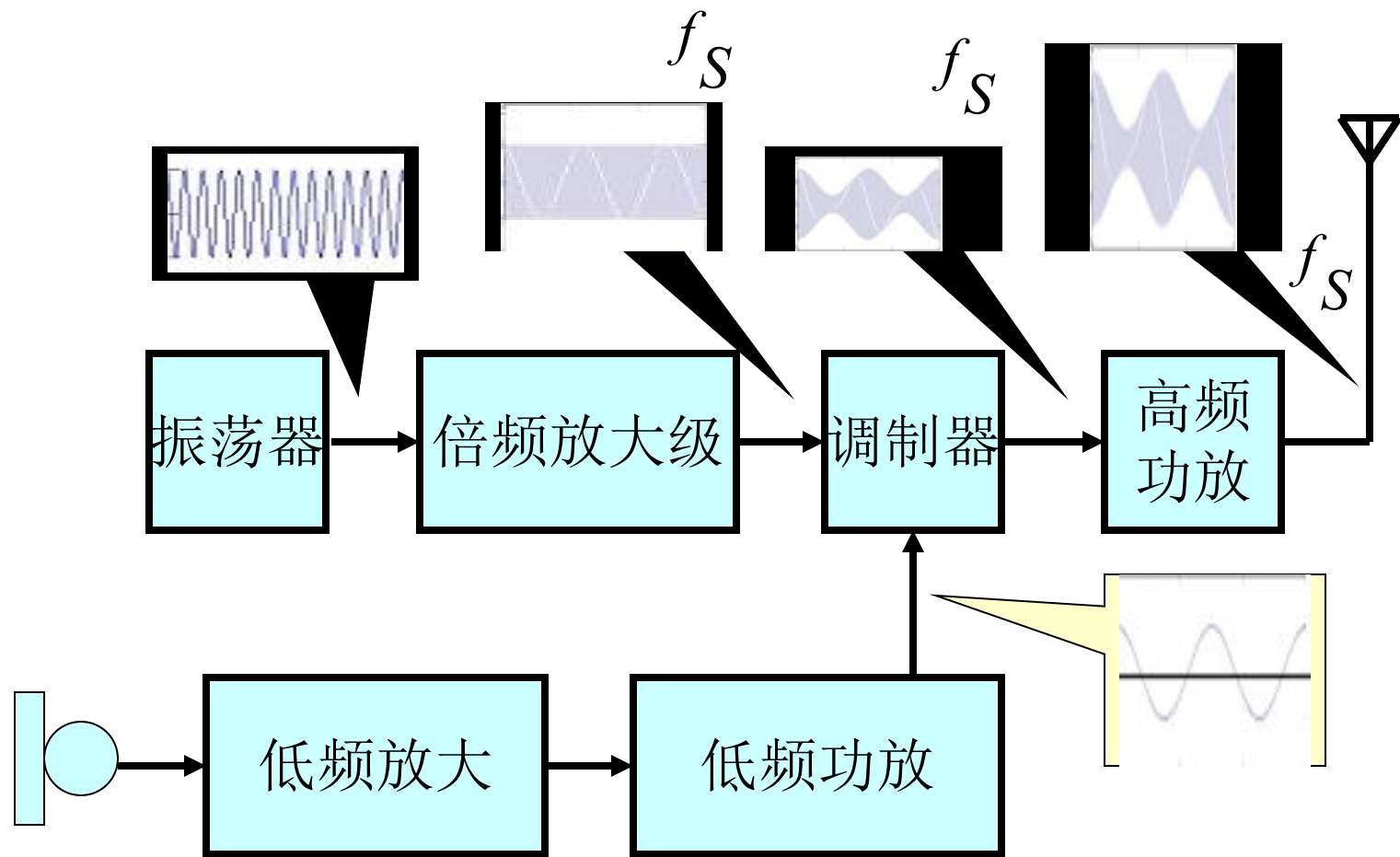


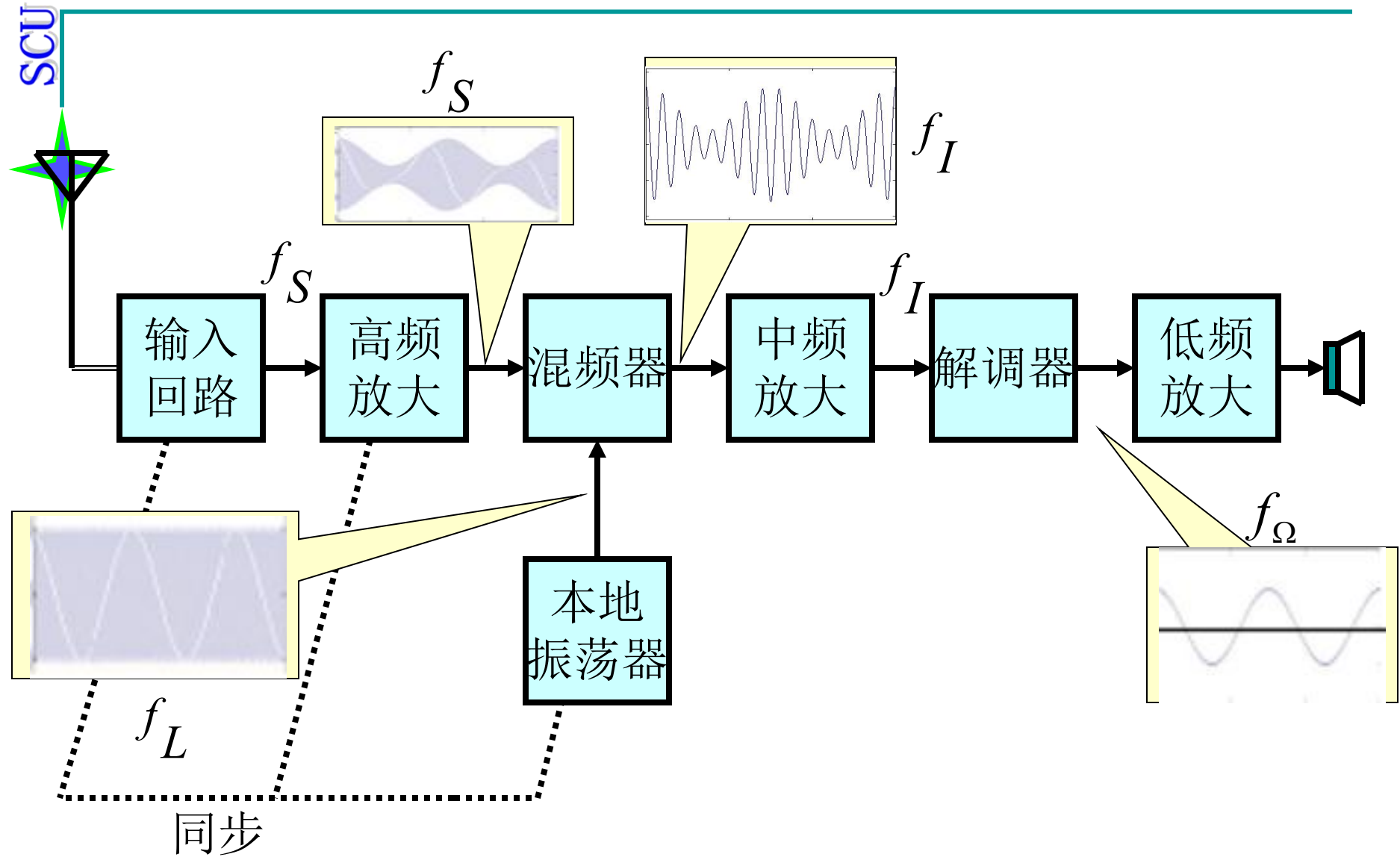


声音或
图像等



无线模拟发送系统框图





超外差式无线电接收系统框图



第5章 频率变换电路的特点及线性频谱搬移电路

5. 1 概述

5. 2 非线性元器件频率变换特性的分析方法

5. 3 线性频谱搬移/线性变换电路

5. 4 章末小结



5.1 概述

一、线性变换电路与非线性变换电路（时域和频域）

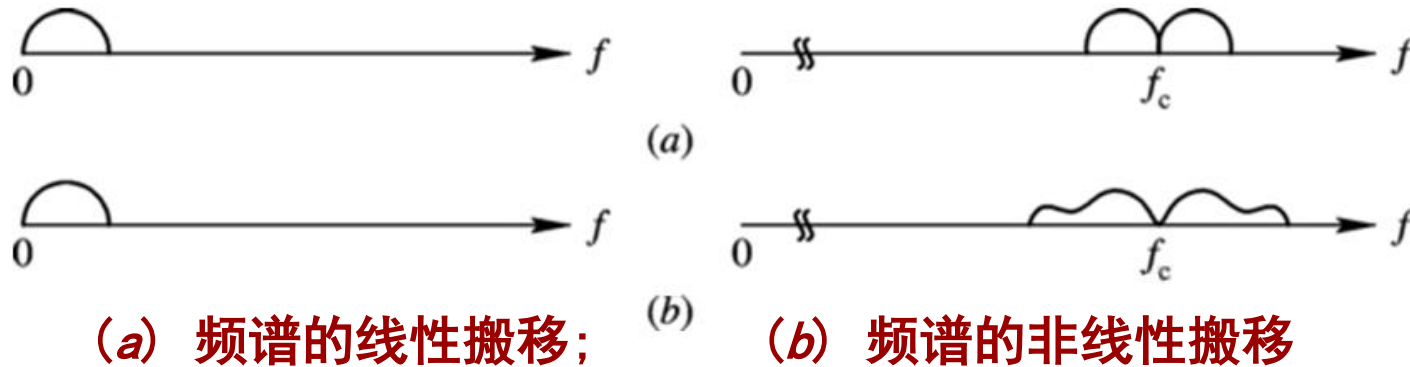
线性变换电路：其输出信号与输入信号具有某种特定的线性关系。

非线性变换电路（频率变换电路）的特点：其输出信号与输入信号不成线性关系。



二、频率变换电路的分类

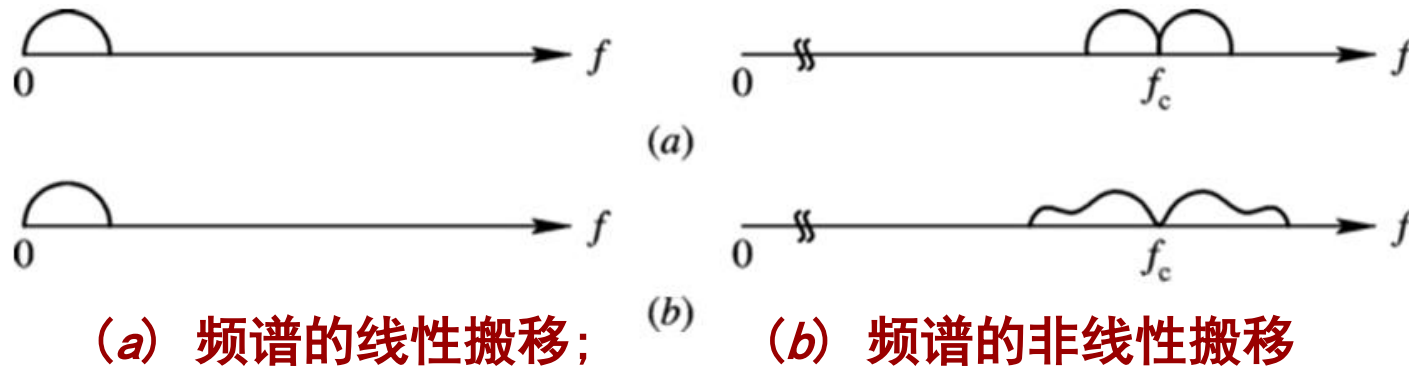
分类 { 线性频率变换电路
非线性频率变换电路



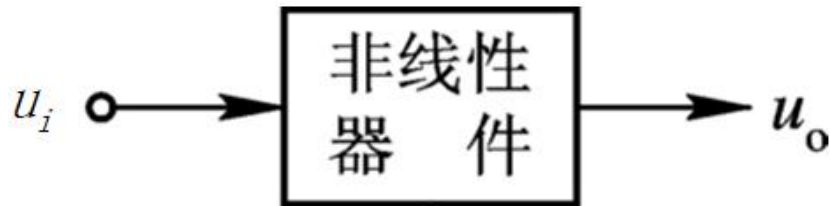
线性频率变换电路的特点：信号频谱有简单的线性关系，或者说在频率轴上的搬移（频谱结构不变，相对幅度不变）（从频率结果来看，体现出来的就是加减或倍数关系），故又被称为频谱搬移电路。

非线性频率变换电路的特点：信号频谱不再是简单的线性关系，也不是频谱的搬移（频谱结构不相同），而是产生了某种非线性变换，如调频电路与鉴频电路。





频率变换电路要采用**非线性器件**来实现。常用的非线性器件有：非线性电阻性器件（如二极管、晶体管）；非线性电容性器件（变容二极管）。



5.2 非线性元器件频率变换特性的分析方法

5.2.1 指数函数分析法

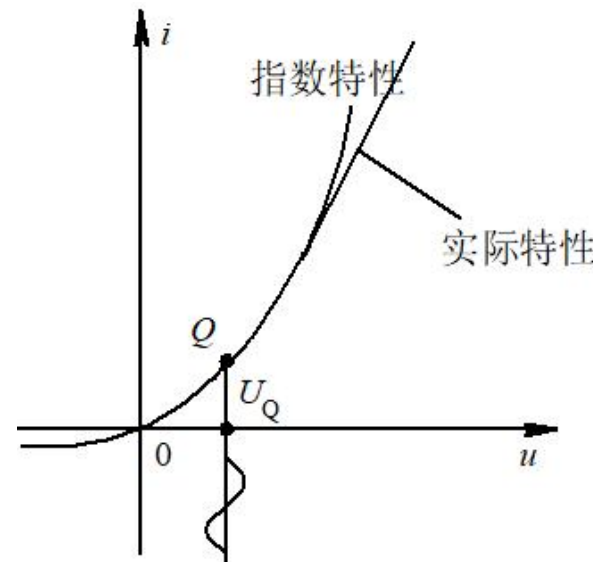
晶体二极管的正向伏安特性可用指数函数描述为：

$$i = I_s(e^{\frac{1}{U_T}u} - 1)$$

其中, 热电压 $U_T \approx 26\text{mV}$ (当 $T=300\text{K}$ 时)

指数函数分析法仅适用于小信

号工作状态下的二极管特性分析



晶体二极管的伏安特性



利用指数函数的幂级数展开式

$$e^x = 1 + x + \frac{1}{2!} x^2 + \dots + \frac{1}{n!} x^n + \dots$$

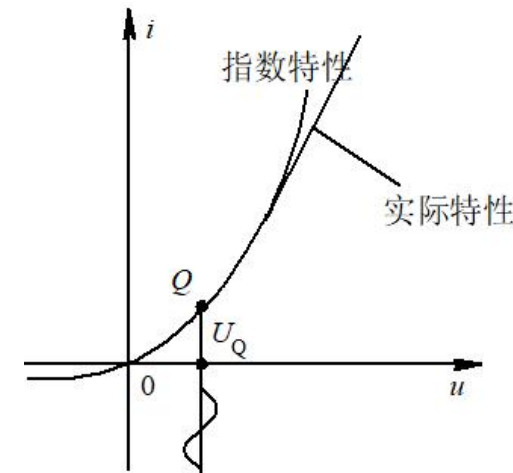
把式 $i = I_s(e^{\frac{1}{U_T}u} - 1)$ 展开，其中 $u = U_Q + U_s \cos \omega_s t$ 可得到

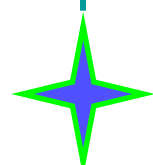
$$i = I_s \left[\frac{U_Q}{U_T} + \frac{U_s}{U_T} \cos \omega_s t + \frac{1}{2U_T^2} (U_Q^2 + 2U_Q U_s \cos \omega_s t + U_s^2 \frac{1 + \cos 2\omega_s t}{2}) + \dots + \frac{1}{n! U_T^n} (U_Q + U_s \cos \omega_s t)^n + \dots \right]$$

输出电流的频率分量可表示为：

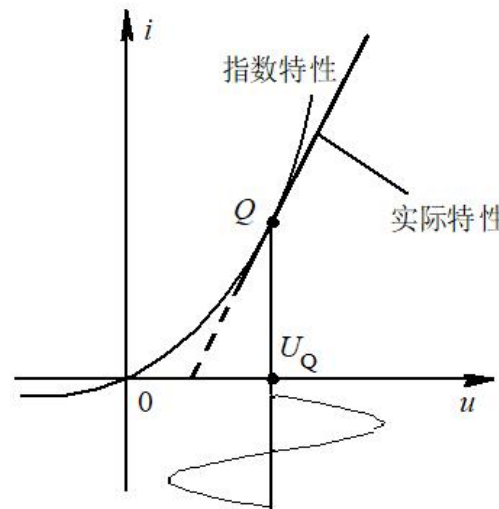
$$\omega_0 = n\omega_s \quad n = 0, 1, 2, \dots$$

由于指数函数是一种超越函数，所以这种方法又称为超越函数分析法。





5.2.2 折线函数分析法



当输入电压较大时，晶体二极管的伏安特性可用两段折线来逼近，此时同晶体三极管的转移特性有相似的非线性特性，输出电流就是单频余弦波。由谐振功放分析结果可知，当输入电压为直流偏压上迭加单频余弦波时，二极管电流中的频率分量

$$\omega_0 = n\omega_s \quad n = 0, 1, 2, \dots$$



5.2.3 幂级数分析法

假设晶体二极管的非线性伏安特性可用函数表示为：

$$i = f(u)$$

此函数表示的是一条连续曲线，其在 U_Q 处存在各阶导数，其泰勒级数：

$$\begin{aligned} i &= f(U_Q) + f'(U_Q)(u - U_Q) + \frac{f''(U_Q)}{2!}(u - U_Q)^2 + \dots + \frac{f^{(n)}(U_Q)}{n!}(u - U_Q)^n + \dots \\ &= a_0 + a_1(u - U_Q) + a_2(u - U_Q)^2 + \dots + a_n(u - U_Q)^n + \dots \end{aligned}$$

式中 $a_n = \frac{f^{(n)}(U_Q)}{n!}$, $n = 0, 1, 2, 3, \dots$

当输入电压 $u = U_Q + U_s \cos \omega_s t$ 可求得输出电流

$$i = a_0 + a_1 U_s \cos \omega_s t + \frac{a_2 U_s^2}{2} (1 + \cos 2\omega_s t) + \dots + a_n U_s^n \cos^n \omega_s t + \dots$$

可见输出电流中出现的频率分量仍为 $n\omega_s$ 。





综上所述, 非线性元器件的特性分析是建立在函数逼近(指数函数分析、折线函数分析、幂级数分析)的基础之上。当工作信号大小不同时, 适用的函数可能不同, 但与实际特性之间的误差都必须在工程所允许的范围之内。

幂级数分析法比较通用, 因一般伏安特性都可以用某种函数形式表示



如果有多个输入信号，如两个， u_1 和 u_2 ， $u_{BE} = U_Q + u_1 + u_2$

$$i = f(u_{BE}) = f(U_Q + u_1 + u_2) \text{ 其泰勒级数:}$$

$$i = f(u_{BE}) = f(U_Q + u_1 + u_2)$$

$$= f(U_Q) + f'(U_Q)(u_1 + u_2) + \frac{1}{2!} f''(U_Q)(u_1 + u_2)^2 + \cdots + \frac{1}{n!} f^{(n)}(U_Q)(u_1 + u_2)^n + \cdots$$

$$= a_0 + a_1(u_1 + u_2) + a_2(u_1 + u_2)^2 + \cdots + a_n(u_1 + u_2)^n + \cdots$$

$$\text{当 } u_1 = U_{1m} \cos \omega_1 t, \quad u_2 = U_{2m} \cos \omega_2 t$$

可求得输出电流中频率分量的表达式

$$\omega_0 = |\pm p\omega_1 \pm q\omega_2| \quad p, q = 0, 1, 2, \dots$$

输出信号频率是两个不同输入信号频率各次谐波的各种不同组合，且包含有直流分量。

线性频谱搬移的目的通常就是得到基波分量的组合，只要有两个输入信号的乘积项可以得到基本分量组合。



$$i = f(u_{BE}) = f(U_Q + u_1 + u_2)$$

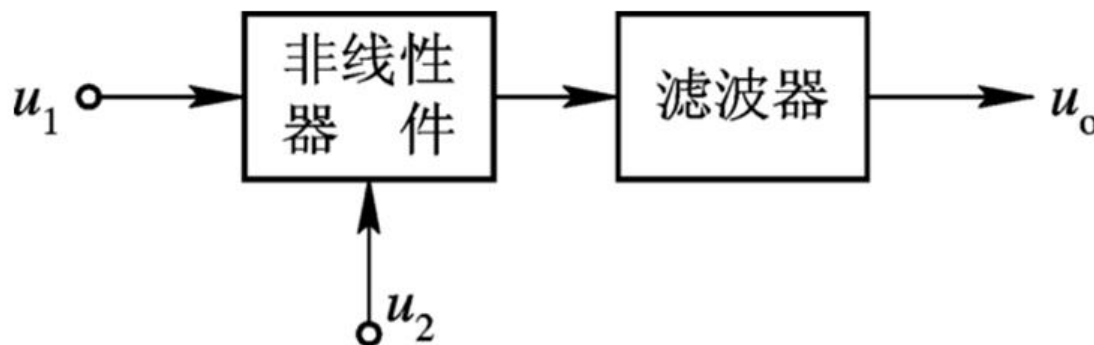
$$= f(U_Q) + f'(U_Q)(u_1 + u_2) + \frac{1}{2!} f''(U_Q)(u_1 + u_2)^2 + \cdots + \frac{1}{n!} f^{(n)}(U_Q)(u_1 + u_2)^n + \cdots$$

$$= a_0 + a_1(u_1 + u_2) + a_2(u_1 + u_2)^2 + \cdots + a_n(u_1 + u_2)^n + \cdots$$

因为输出电流中频率分量的表达式

$$\omega_0 = |\pm p\omega_1 \pm q\omega_2| \quad p, q = 0, 1, 2, \dots$$

不只含有基波分量的组合，还有很多的无用频率组合。



如果 $u_1 \gg u_2$, $u_{BE} = U_Q + u_1 + u_2$

其泰勒级数:

$$i = f(u_{BE}) = f(U_Q + u_1 + u_2)$$

$$= f(U_Q + u_1) + f'(U_Q + u_1)u_2 + \frac{1}{2!} f''(U_Q + u_1)u_2^2 + \cdots + \frac{1}{n!} f^{(n)}(U_Q + u_1)u_2^n + \cdots$$

$$\approx f(U_Q + u_1) + f'(U_Q + u_1)u_2$$

$$\approx I_0(t) + g(t)u_2$$

时变静
态电流

时变电导或
时变跨导

$$\text{其中 } I_0(t) = f(U_Q + u_1), \quad g(t) = f'(U_Q + u_1)$$

$I_0(t)$ 与 $g(t)$ 均是与 u_2 无关的参数, 故 i_C 与 u_2 可看成一种线性关系, 但是 $I_0(t)$ 与 $g(t)$ 又是随时间变化的, 所以将这种工作状态称为线性时变工作状态。

线性时变法是一般采用的分析方法。



5.2 非线性元器件频率变换特性的分析方法

$$\begin{aligned} i &= f(U_{BE}) = f(U_Q + u_1 + u_2) \\ &\approx f(U_Q + u_1) + f'(U_Q + u_1)u_2 \\ &\approx I_0(t) + g(t)u_2 \end{aligned}$$

当 $u_1 = U_{1m} \cos \omega_1 t$, $u_2 = U_{2m} \cos \omega_2 t$ 时

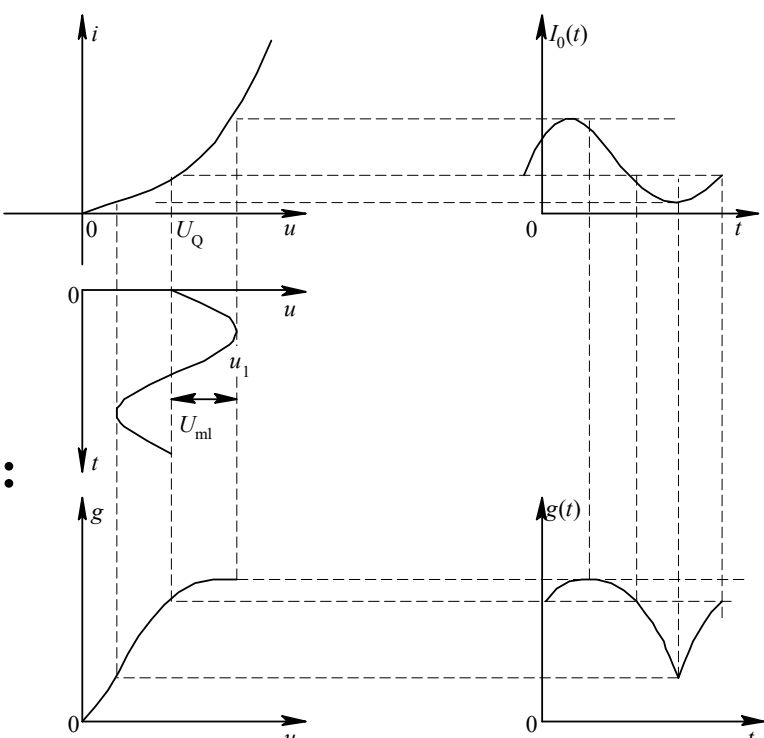
$I_0(t)$ 是周期性变化的, 可以展开为傅里叶级数:

$$I_0(t) = I_{00} + \sum_{n=1}^{\infty} I_{on} \cos n\omega_1 t$$

$$\text{其中 } I_{on} = \frac{1}{\pi} \int_{-\pi}^{+\pi} I_o(t) \cos n\omega_1 t d\omega_1 t$$

$$\text{同理 } g(t) = g_0 + \sum_{n=1}^{\infty} g_n \cos n\omega_1 t$$

$$i = I_{00} + \sum_{n=1}^{\infty} I_{on} \cos n\omega_1 t + \left[g_0 + \sum_{n=1}^{\infty} g_n \cos n\omega_1 t \right] U_{m2} \cos \omega_2 t$$



线性时变工作状态时
 $I_0(t)$ 与 $g(t)$ 的波形

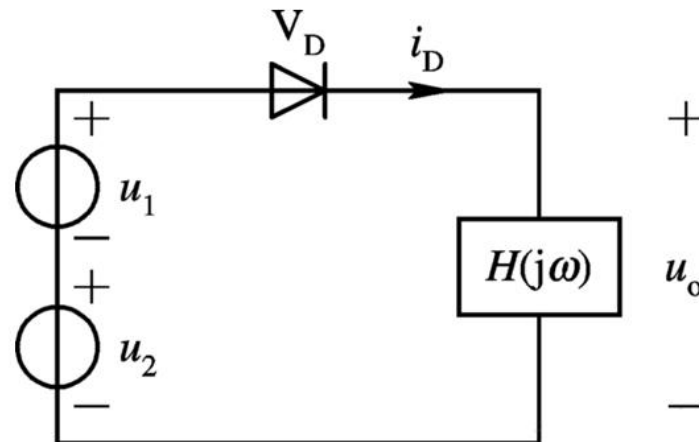
可看出, i 中含有直流分量、 ω_1 的各次谐波分量以及 $|\pm n\omega_1 \pm \omega_2|$ 分量 ($n=0, 1, 2, \dots$)。与式 $\omega_o = |\pm p\omega_1 \pm q\omega_2|$ 比较, 减少了许多组合频率分量。

5.3 线性频率搬移/变换电路

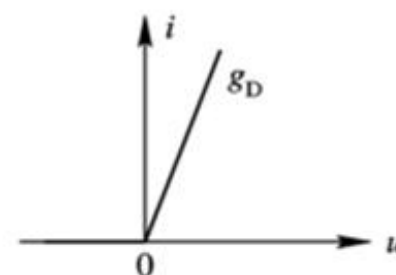
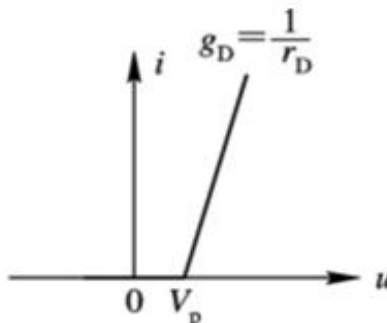
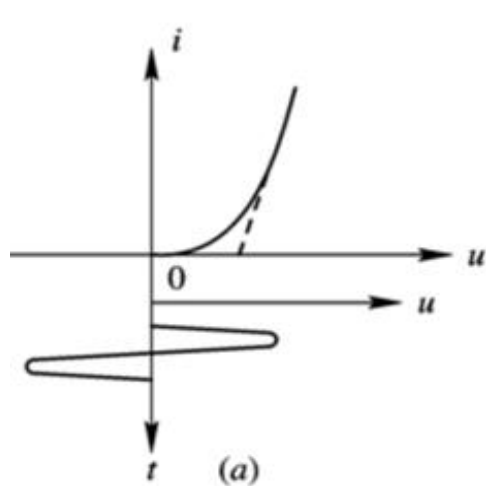
5.3.1 二极管电路

1、单二极管电路

$$u_2 = U_2 \cos \omega_2 t \quad u_D = u_1 + u_2$$



$U_2 \gg U_1$; 且有 $U_2 > 0.5$ V



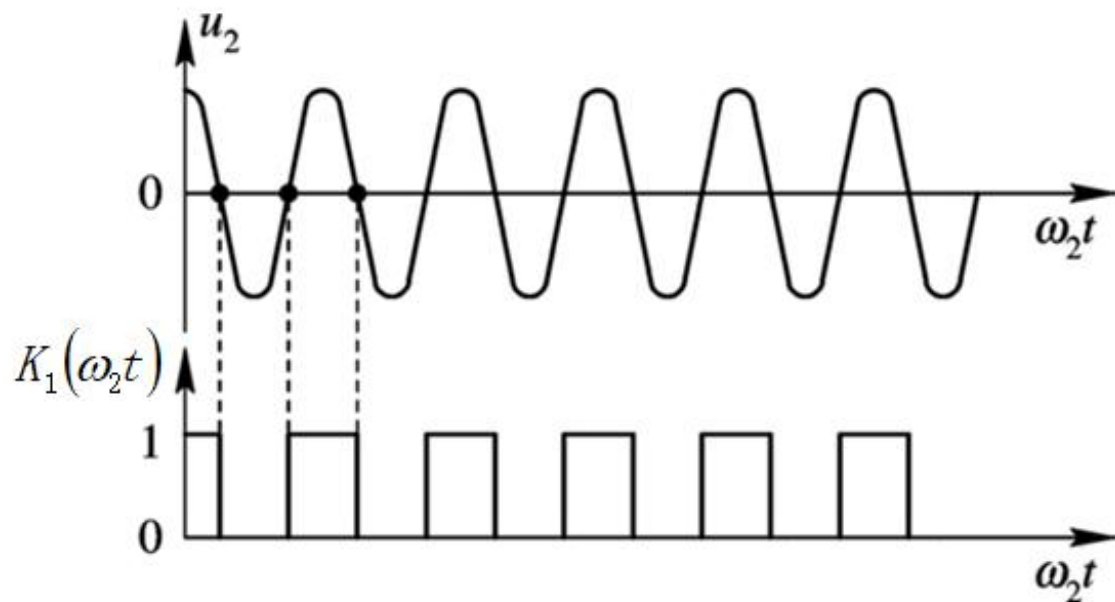
$$\dot{i}_D = \begin{cases} g_D u_D & u_D \geq V_p \\ 0 & u_D < V_p \end{cases}$$

$$i_D = \begin{cases} g_D u_D & u_2 \geq 0 \\ 0 & u_2 < 0 \end{cases}$$



1、单二极管电路

$$u_D = u_1 + u_2$$



$$i_D = \begin{cases} g_D u_D & u_2 \geq 0 \\ 0 & u_2 < 0 \end{cases}$$

$$K_1(\omega_2 t) = \frac{1}{2} + \frac{2}{\pi} \cos \omega_2 t - \frac{2}{3\pi} \cos 3\omega_2 t + \frac{2}{5\pi} \cos 5\omega_2 t - \dots + (-1)^{n+1} \frac{2}{(2n-1)\pi} \cos (2n-1)\omega_2 t + \dots$$

$$i_D = g_D u_D K_1(\omega_2 t) = g_D \left[\frac{1}{2} + \frac{2}{\pi} \cos \omega_2 t - \frac{2}{3\pi} \cos 3\omega_2 t + \frac{2}{5\pi} \cos 5\omega_2 t - \dots \right] u_D$$

$$u_D = u_1 + u_2$$

$$i_D = g_D \left[\frac{1}{2} + \frac{2}{\pi} \cos \omega_2 t - \frac{2}{3\pi} \cos 3\omega_2 t + \frac{2}{5\pi} \cos 5\omega_2 t - \dots \right] u_D$$

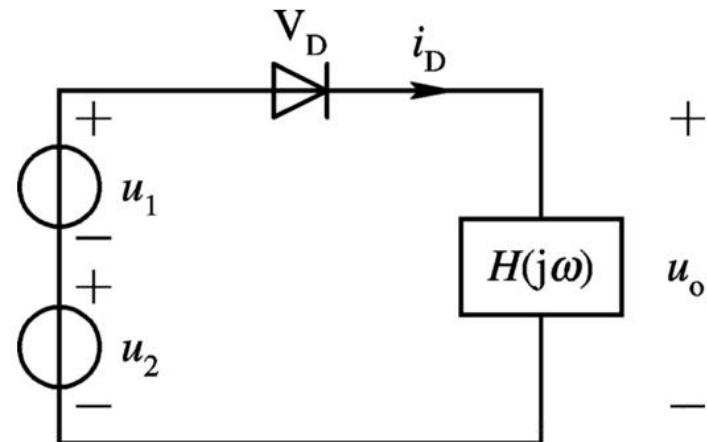
若 $u_1 = U_1 \cos \omega_1 t$, 为单一频率信号, 代入上式有

$$\begin{aligned} i_D = & \frac{g_D}{\pi} U_2 + \frac{g_D}{2} U_1 \cos \omega_1 t + \frac{g_D}{2} U_2 \cos \omega_2 t + \frac{2}{3\pi} g_D U_2 \cos 2\omega_2 t \\ & - \frac{2}{15\pi} g_D U_2 \cos 4\omega_2 t + \dots + \frac{1}{\pi} g_D U_1 \cos (\omega_2 - \omega_1) t \\ & + \frac{1}{\pi} g_D U_1 \cos (\omega_2 + \omega_1) t - \frac{1}{3\pi} g_D U_1 \cos (3\omega_2 - \omega_1) t \\ & - \frac{1}{3\pi} g_D U_1 \cos (3\omega_2 + \omega_1) t + \frac{1}{5\pi} g_D U_1 \cos (5\omega_2 - \omega_1) t \\ & + \frac{1}{5\pi} g_D U_1 \cos (5\omega_2 + \omega_1) t + \dots \end{aligned}$$

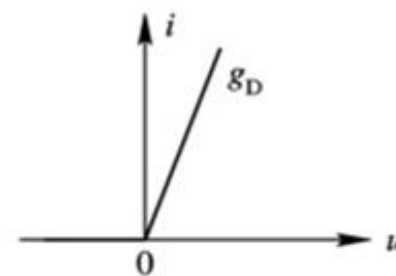
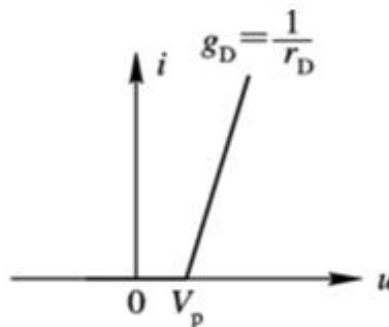
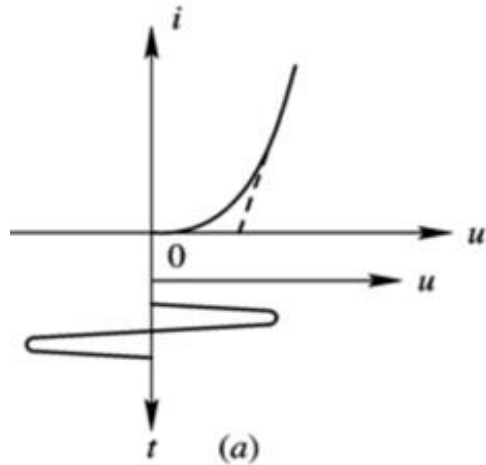


$$u_2 = U_2 \cos \omega_2 t$$

若 $u_D = U_Q + u_1 + u_2$



$$U_2 \gg U_1$$

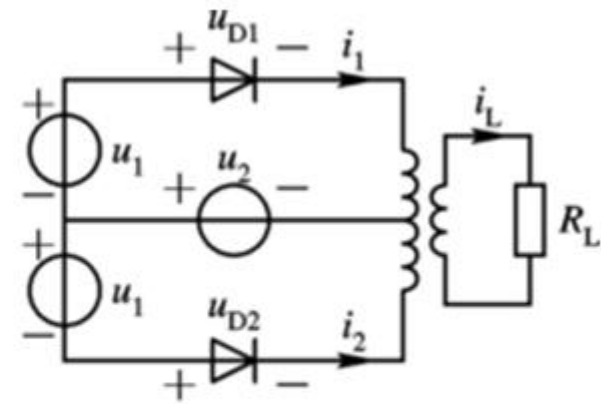
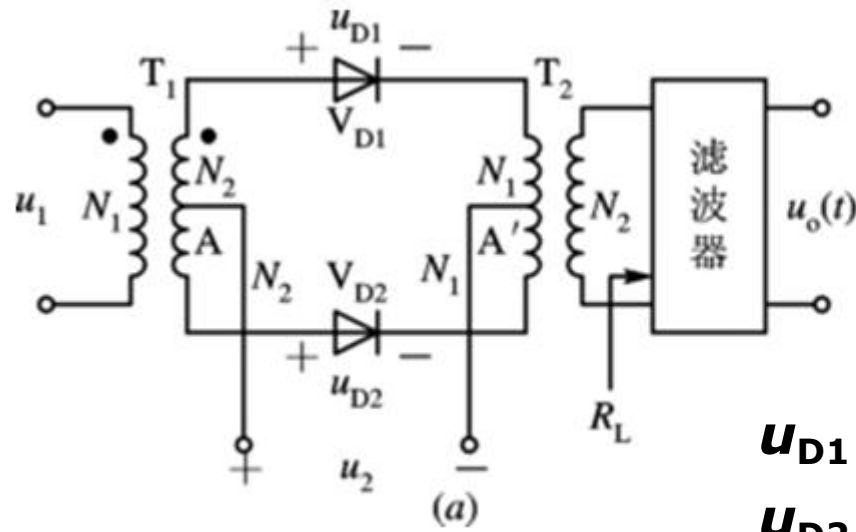


$$i_D = \begin{cases} g_D u_D & u_D \geq V_p \\ 0 & u_D < V_p \end{cases}$$

$$i_D = \begin{cases} g_D u_D & u_2 \geq 0 \\ 0 & u_2 < 0 \end{cases}$$



2、二极管平衡电路



$$u_{D1} = u_2 + u_1$$

$$u_{D2} = u_2 - u_1$$

$$i_1 = g_1(t)u_{D1} = g_D K_1(\omega_2 t) (u_2 + u_1)$$

$$i_L = i_{L1} - i_{L2} = i_1 - i_2$$

$$i_2 = g_1(t)u_{D2} = g_D K_1(\omega_2 t) (u_2 - u_1)$$

$$i_L = 2g_D K_1(\omega_2 t)u_1$$

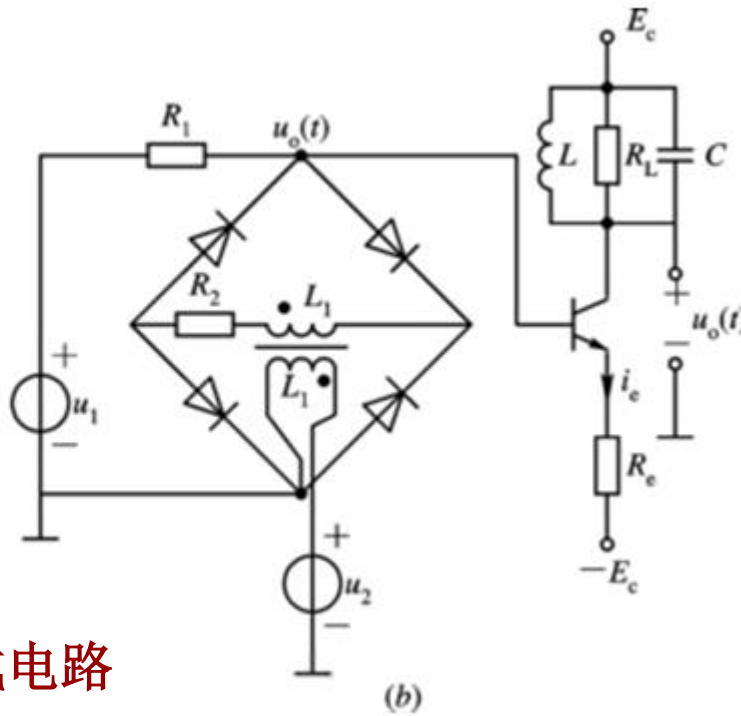
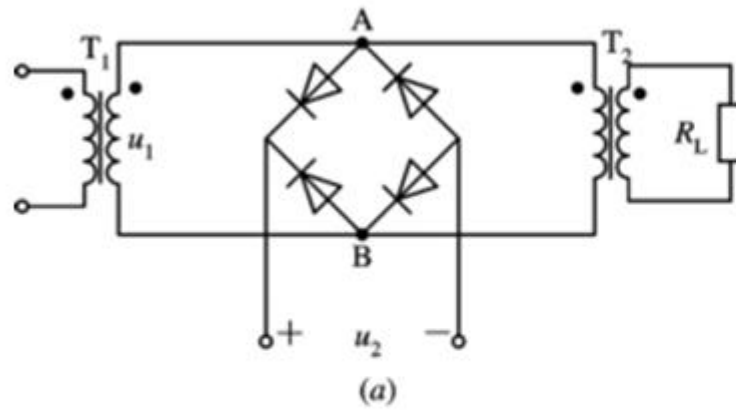
考虑 $u_1 = U_1 \cos \omega_1 t$, 代入上式可得

$$i_L = g_D U_1 \cos \omega_1 t + \frac{2}{\pi} g_D U_1 \cos(\omega_2 + \omega_1)t + \frac{2}{\pi} g_D U_1 \cos(\omega_2 - \omega_1)t$$

$$-\frac{2}{3\pi} g_D U_1 \cos(3\omega_2 + \omega_1)t - \frac{2}{3\pi} g_D U_1 \cos(3\omega_2 - \omega_1)t + \dots$$



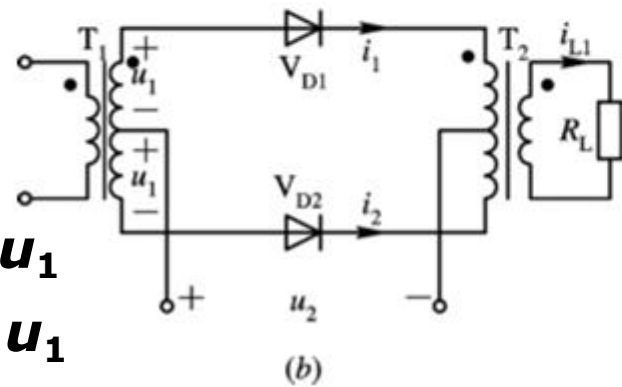
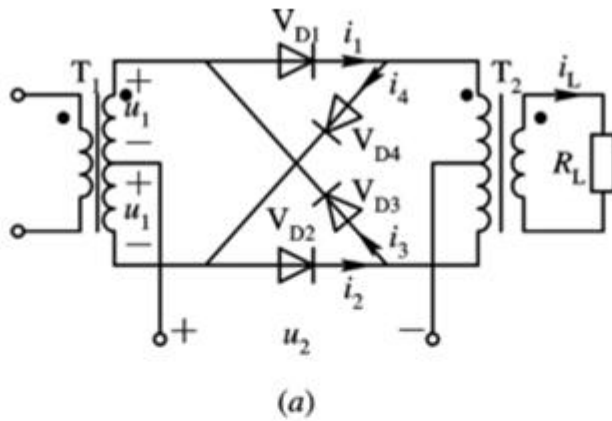
3、二极管平衡电路



$$u_{AB} = K_1(\omega_2 t) u_1$$

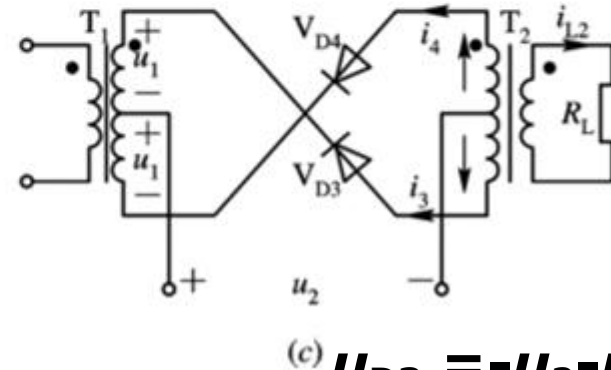


3、二极管环形电路



$$u_{D1} = u_2 + u_1$$

$$u_{D2} = u_2 - u_1$$



$$u_{D3} = -u_2 - u_1$$

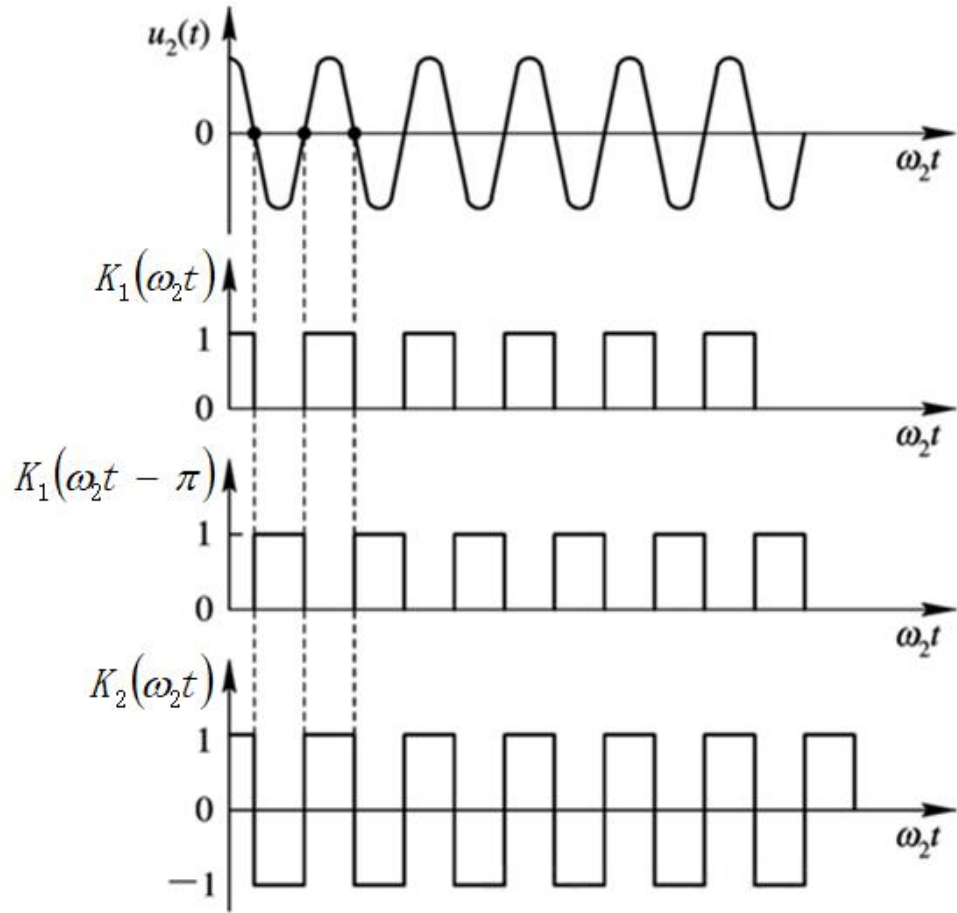
$$i_L = i_{L1} + i_{L2} = (i_1 - i_2) + (i_3 - i_4)$$

$$u_{D4} = -u_2 + u_1$$

$$i_{L1} = 2g_D K_1(\omega_2 t) u_1, \quad i_{L2} = -2g_D K_1(\omega_2 t - \pi) u_1$$

$$i_L = 2g_D [K_1(\omega_2 t) - K_1(\omega_2 t - \pi)] u_1 = 2g_D \underline{K_2(\omega_2 t)} u_1$$

3、二极管环形电路



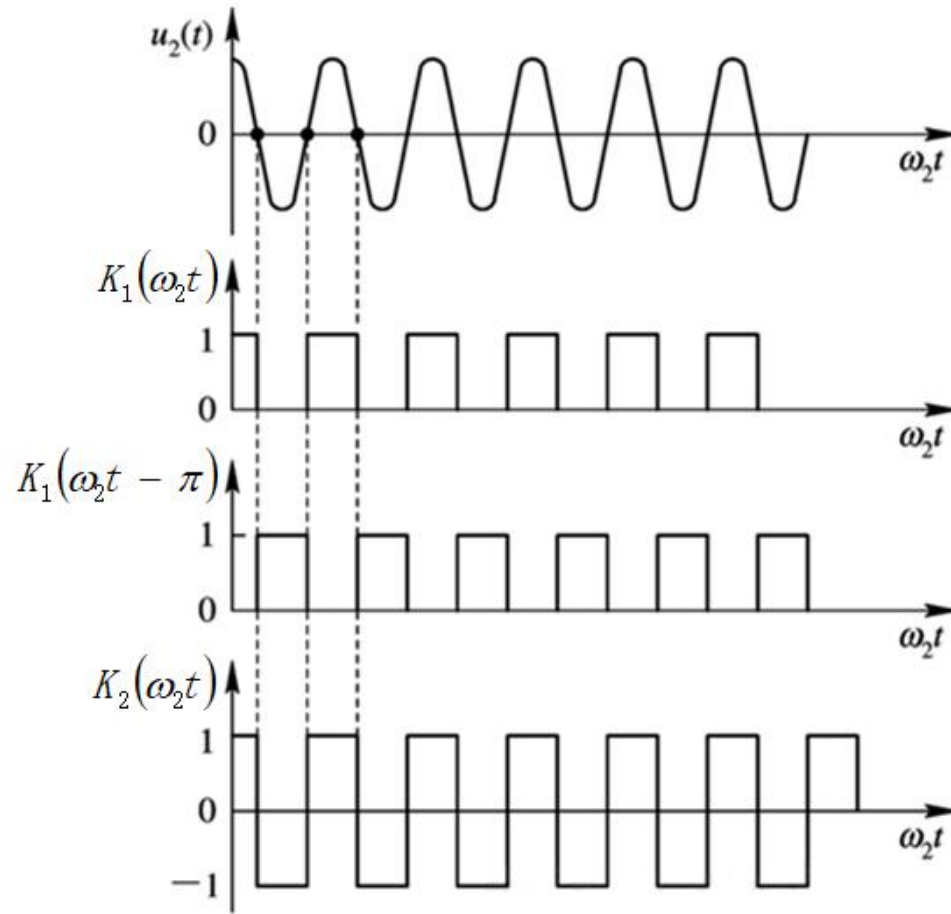
环形电路的开关函数波形图

$$i_{L1} = 2g_D K_1(\omega_2 t) u_1, \quad i_{L2} = -2g_D K_1(\omega_2 t - \pi) u_1$$

$$i_L = 2g_D [K_1(\omega_2 t) - K_1(\omega_2 t - \pi)] u_1 = 2g_D K_2(\omega_2 t) u_1$$



3、二极管环形电路



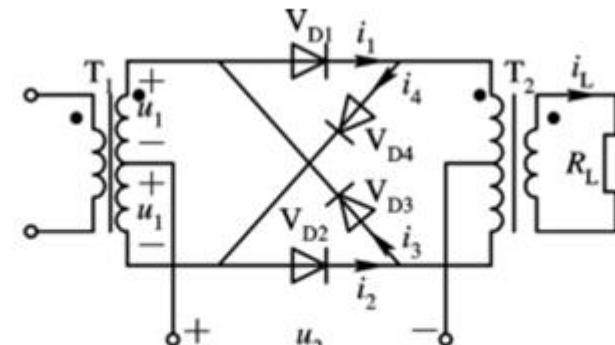
环形电路的开关函数波形图

$$K_2(\omega_2 t) = \frac{4}{\pi} \cos \omega_2 t - \frac{4}{3\pi} \cos 3\omega_2 t + \frac{4}{5\pi} \cos 5\omega_2 t + \dots$$

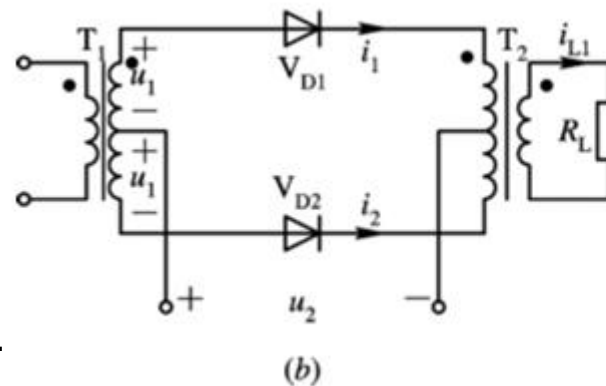
$$+ (-1)^{n+1} \frac{4}{(2n+1)\pi} \cos (2n+1)\omega_2 t + \dots$$



3、二极管环形电路



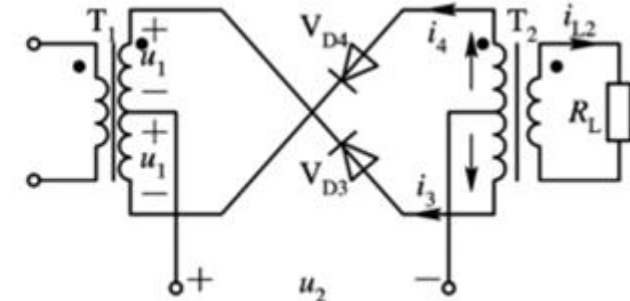
(a)



(b)

$$u_{D1} = u_2 + u_1$$

$$u_{D2} = u_2 - u_1$$



(c)

$$u_{D3} = -u_2 - u_1$$

$$u_{D4} = -u_2 + u_1$$

$$i_L = 2g_D K_2(\omega_2 t) u_1$$

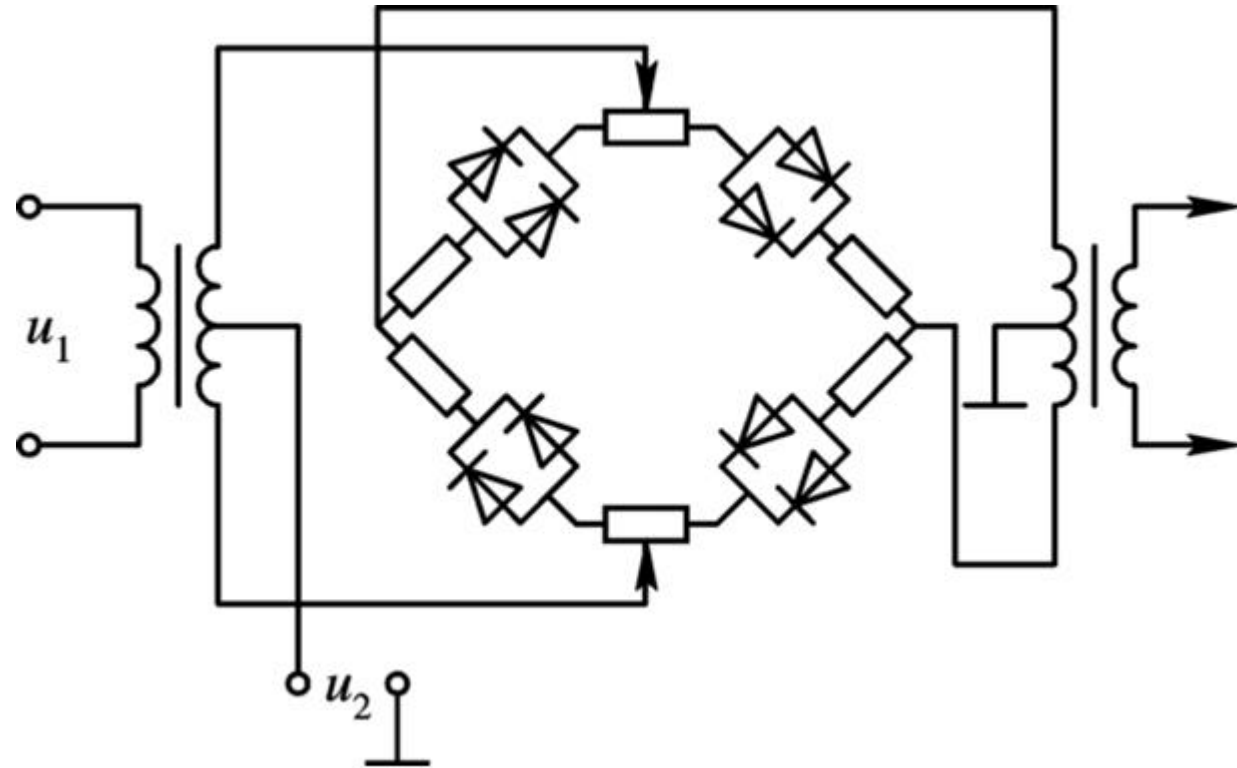
当 $u_1 = U_1 \cos \omega_1 t$ 时

$$i_L = \frac{4}{\pi} g_D U_1 \cos(\omega_2 + \omega_1)t + \frac{4}{\pi} g_D U_1 \cos(\omega_2 - \omega_1)t$$

$$- \frac{4}{3\pi} g_D U_1 \cos(3\omega_2 + \omega_1)t - \frac{4}{3\pi} g_D U_1 \cos(3\omega_2 - \omega_1)t$$

$$+ \frac{4}{5\pi} g_D U_1 \cos(5\omega_2 + \omega_1)t + \frac{4}{5\pi} g_D U_1 \cos(5\omega_2 - \omega_1)t \dots$$

3、二极管环形电路



实际的环形电路



5.3.2 差分对管电路

频谱搬移电路的核心部分是相乘器

1、单差分对电路

$$i_{c1} \approx I_s e^{\frac{q}{kT} u_{be1}} = I_s e^{\frac{u_{be1}}{V_T}}$$

$$i_{c2} \approx I_s e^{\frac{q}{kT} u_{be2}} = I_s e^{\frac{u_{be2}}{V_T}}$$

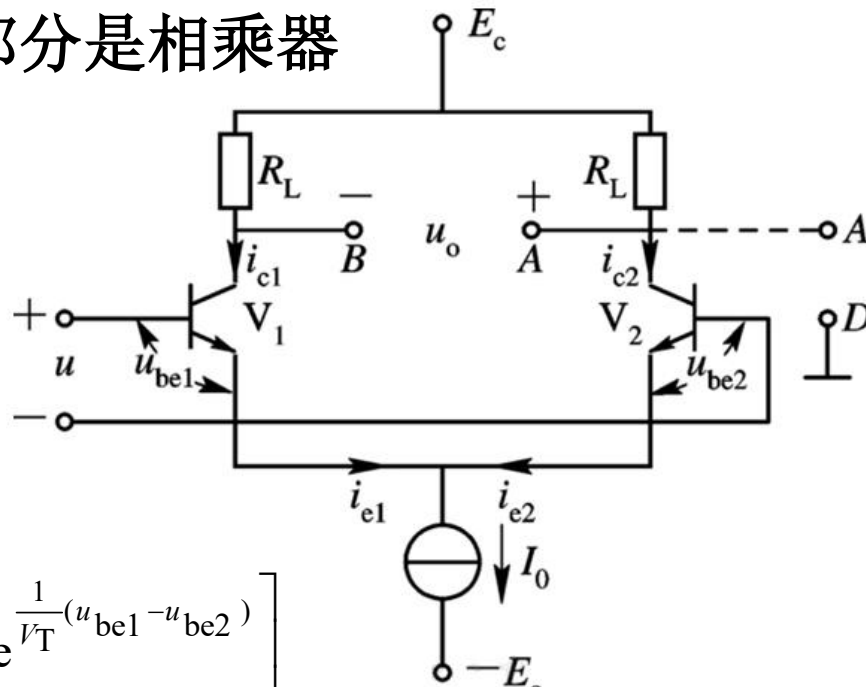
$$I_0 = i_{c1} + i_{c2} = I_s e^{\frac{u_{be1}}{V_T}} + I_s e^{\frac{u_{be2}}{V_T}} = i_{c2} \left[1 + e^{\frac{1}{V_T}(u_{be1} - u_{be2})} \right]$$

$$= i_{c2} \left(1 + e^{\frac{u}{V_T}} \right)$$

$$i_{c2} = \frac{I_o}{1 + e^{\frac{u}{V_T}}}$$

$$i_{c1} = \frac{I_o}{1 + e^{-\frac{u}{V_T}}}$$

$$i_{c1} - \frac{I_o}{2} = \frac{I_o}{2} \left(\frac{2}{1 + e^{-\frac{u}{V_T}}} - \frac{1}{2} \right) = \frac{I_o}{2} \operatorname{th} \left(\frac{u}{2V_T} \right)$$

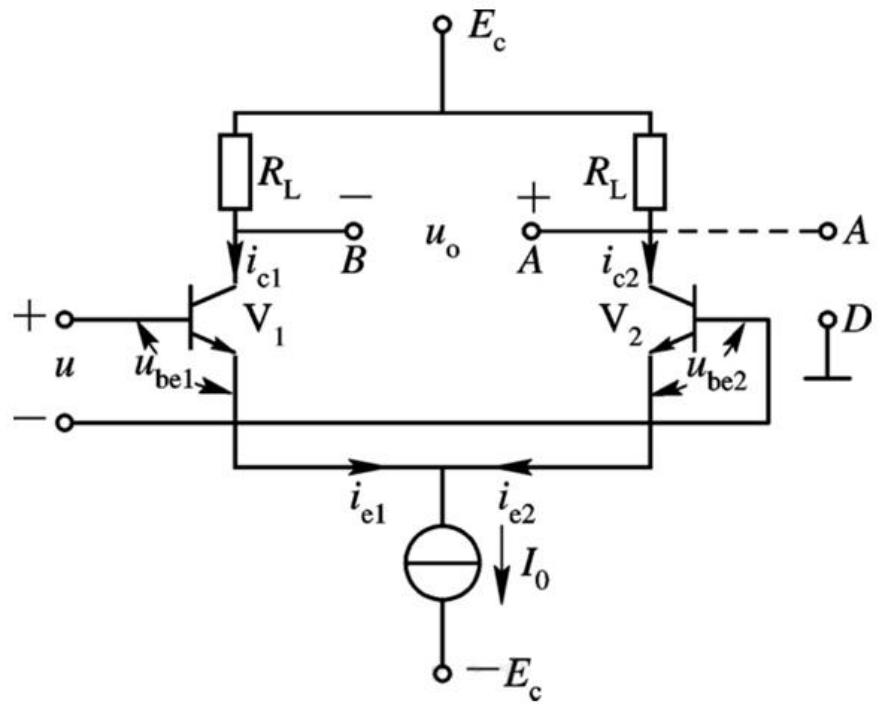


差分对原理电路

1、单差分对电路

$$i_{c1} = \frac{I_o}{2} + \frac{I_o}{2} \operatorname{th}\left(\frac{u}{2V_T}\right)$$

$$i_{c2} = \frac{I_o}{2} - \frac{I_o}{2} \operatorname{th}\left(\frac{u}{2V_T}\right)$$



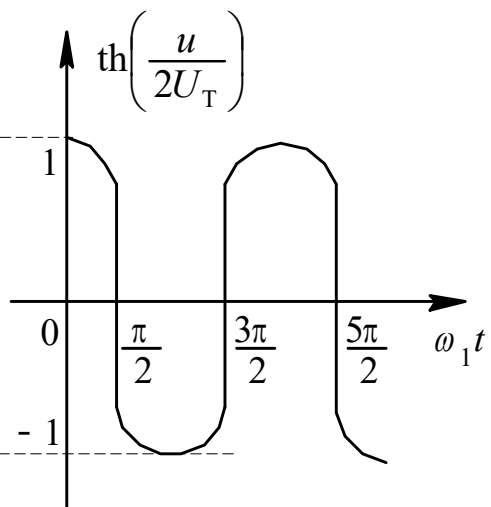
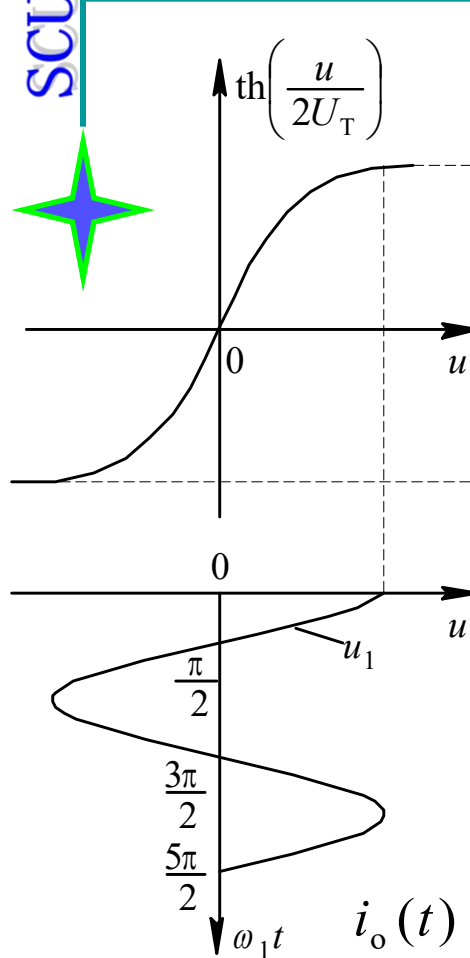
差分对原理电路

$$u_o = u_{c2} - u_{c1} = (E_c - i_{c2}R_L) - (E_c - i_{c1}R_L)$$

$$= R_L(i_{c1} - i_{c2}) = R_L I_o \operatorname{th}\left(\frac{u}{2V_T}\right)$$

$$i_o = i_{c1} - i_{c2} = I_o \operatorname{th}\left(\frac{u}{2V_T}\right)$$





1、单差分对电路

$$i_o = i_{c1} - i_{c2} = I_o \text{th}\left(\frac{u}{2V_T}\right)$$

当 $u = U_1 \cos \omega_1 t$ 时, 令 $x = \frac{U_1}{U_T}$

$$i_o(t) = I_o [\beta_1(x) \cos \omega_1 t + \beta_3(x) \cos 3\omega_1 t + \beta_5(x) \cos 5\omega_1 t + \dots]$$

$$= I_o \sum_{n=1}^{\infty} \beta_{2n-1}(x) \cos(2n-1)\omega_1 t$$

$$\beta_{2n-1}(x) = \frac{1}{\pi} \int_{-\pi}^{\pi} \text{th}\left(\frac{x}{2} \cos \omega_1 t\right) \cos((2n-1)\omega_1 t) d\omega_1 t$$



1、单差分对电路

$$u_A = U_1 \cos \omega_1 t$$

考虑 $|u_A| < 26 \text{ mV}$ 时，有

$$i_o(t) \approx \frac{E_e}{R_e} \left(1 + \frac{u_B}{E_e} \right) \frac{u_A}{2V_T}$$

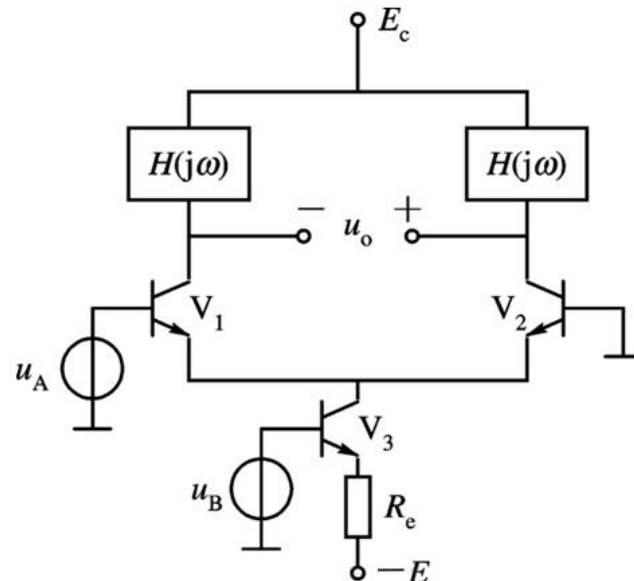
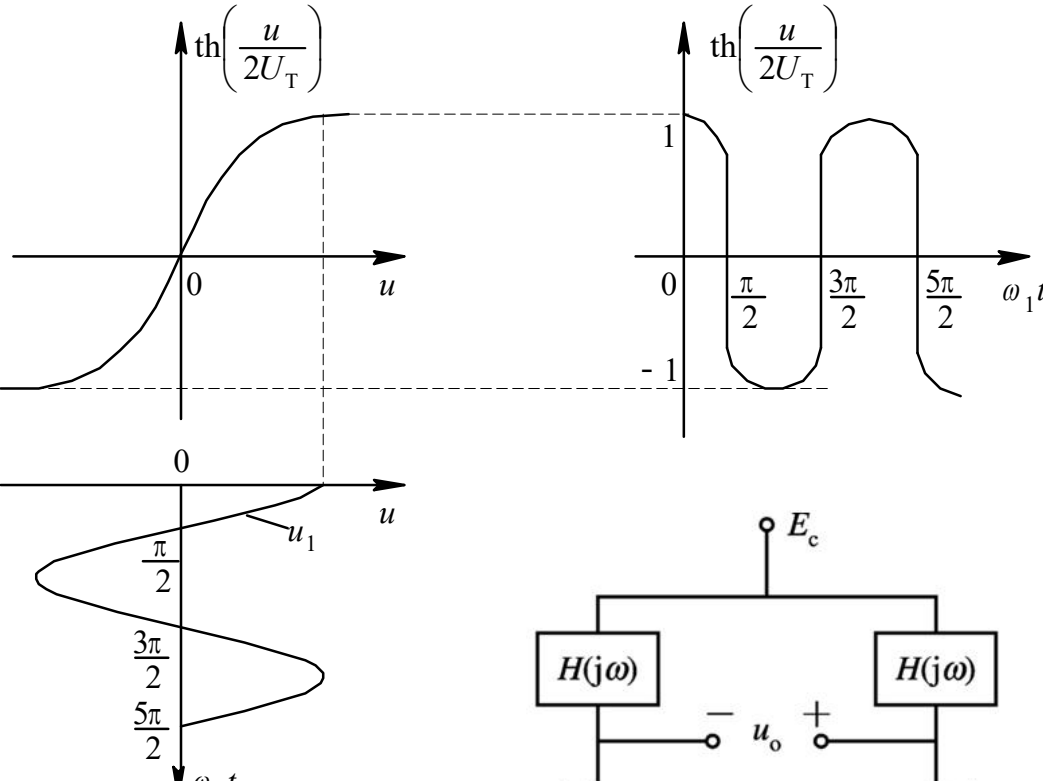
考虑 $|u_A| > 100 \text{ mV}$ 时，

$\operatorname{th}\left(\frac{u_A}{2V_T}\right)$ 近似一个双向开关，有

$$i_o(t) = I_o(t) K_2(\omega_1 t)$$

考虑 $|u_A|$ 为其它时，

$$i_o(t) = I_o(t) \operatorname{th}\left(\frac{u_A}{2V_T}\right) \approx \frac{E_e}{R_e} \left(1 + \frac{u_B}{E_e} \right) \operatorname{th}\left(\frac{u_A}{2V_T}\right)$$

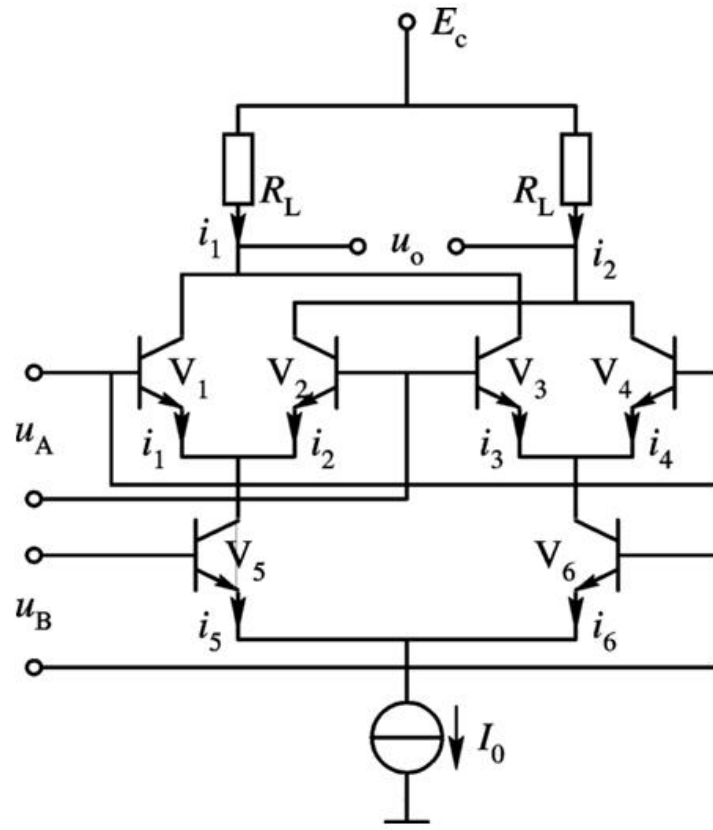


2、双差分对电路

$$i_1 - i_2 = i_5 \operatorname{th}\left(\frac{u_A}{2V_T}\right)$$

$$i_4 - i_3 = i_6 \operatorname{th}\left(\frac{u_A}{2V_T}\right)$$

$$i_5 - i_6 = I_0 \operatorname{th}\left(\frac{u_B}{2V_T}\right)$$



双差分对电路

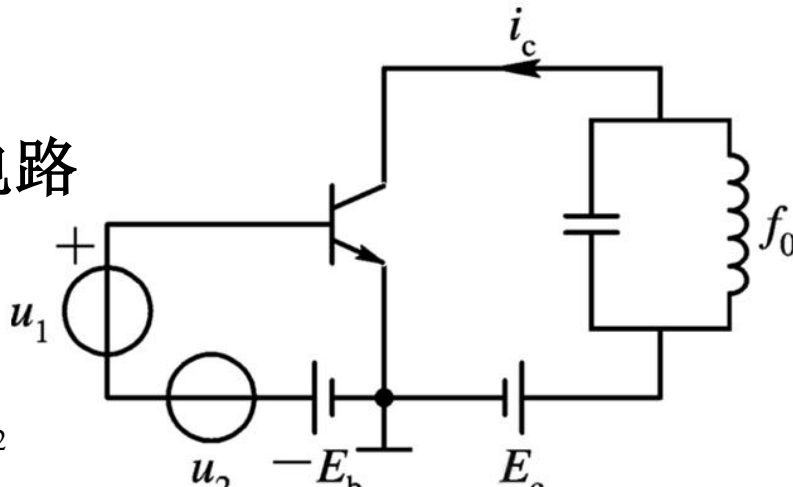
$$i_o = i_1 - i_2 - (i_4 - i_3) = I_0 \operatorname{th}\left(\frac{u_A}{2V_T}\right) \operatorname{th}\left(\frac{u_B}{2V_T}\right)$$



5.3.3 晶体管频率搬移电路

1、晶体三极管频谱线性搬移电路

$$i_c = f(u_{BE}) = f(u_1 + u_2 + E_b) = f[E_b(t) + u_1]$$



$$\begin{aligned} i_c &= f[E_b(t)] + f'[E_b(t)]u_1 + \frac{1}{2}f''[E_b(t)]u_1^2 \\ &\quad + \frac{1}{3!}f'''[E_b(t)]u_1^3 + \cdots + \frac{1}{n!}f^{(n)}[E_b(t)]u_1^n + \cdots \end{aligned}$$

$$f[E_b(t)] = f(u_{BE}) \Big|_{u=E_b(t)} = I_{c0}(t)$$

$$I_{c0}(t) = I_{c00} + I_{c01} \cos \omega_2 t + I_{c02} \cos 2\omega_2 t + \cdots$$

$$f'[E_b(t)] = \left. \frac{di_c}{du_{BE}} \right|_{u_{BE}=E_b(t)} = \left. \frac{df(u_{BE})}{du_{BE}} \right|_{u_{BE}=E_b(t)} = g_m(t)$$

$$g_m(t) = g_{m0} + g_{m1} \cos \omega_2 t + g_{m2} \cos 2\omega_2 t + \cdots$$





1、晶体三极管频谱线性搬移电路

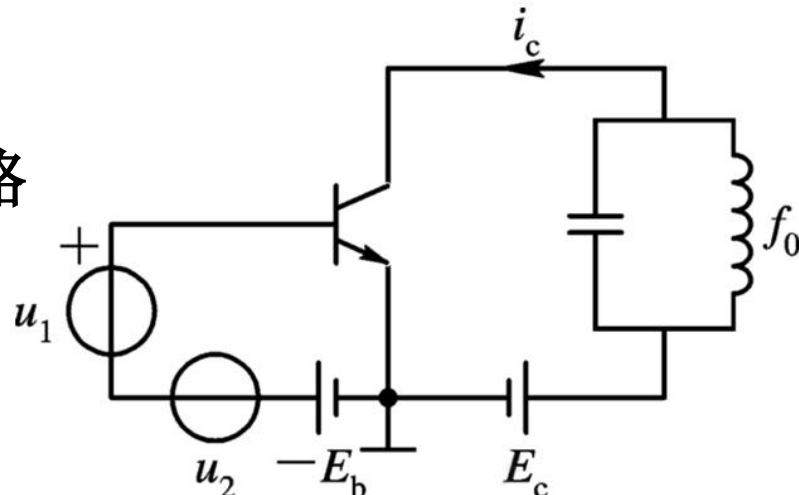
$$i_c = f(u_{BE}) = f(u_1 + u_2 + E_b) = f [E_b(t) + u_1]$$

$$\begin{aligned} i_c &= f[E_b(t)] + f'[E_b(t)]u_1 + \frac{1}{2}f''[E_b(t)]u_1^2 \\ &\quad + \frac{1}{3!}f'''[E_b(t)]u_1^3 + \cdots + \frac{1}{n!}f^{(n)}[E_b(t)]u_1^n + \cdots \end{aligned}$$

$$I_{c0}(t) = I_{c00} + I_{c01} \cos \omega_2 t + I_{c02} \cos 2\omega_2 t + \cdots$$

$$g_m(t) = g_{m0} + g_{m1} \cos \omega_2 t + g_{m2} \cos 2\omega_2 t + \cdots$$

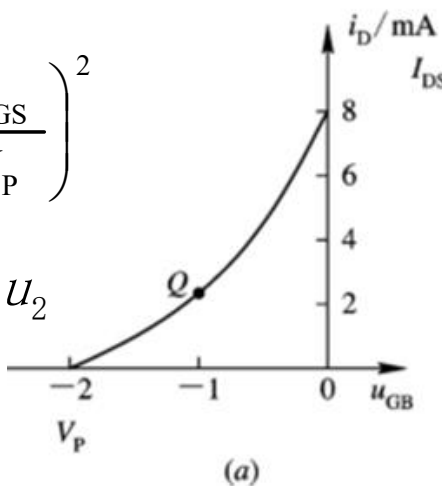
$$\begin{aligned} i_c &\approx I_{c0}(t) + g_m(t)u_1 \\ &\approx I_{c00} + I_{c01} \cos \omega_2 t + I_{c02} \cos 2\omega_2 t + \cdots \\ &\quad + (g_{m0} + g_{m1} \cos \omega_2 t + g_{m2} \cos 2\omega_2 t + \cdots)U_1 \cos \omega_1 t \end{aligned}$$



2、场效应管频谱线性搬移电路

 $i_D = I_{DSS} \left(1 - \frac{u_{GS}}{V_P} \right)^2$

$$u_{GS} = E_{GS} + u_1 + u_2$$



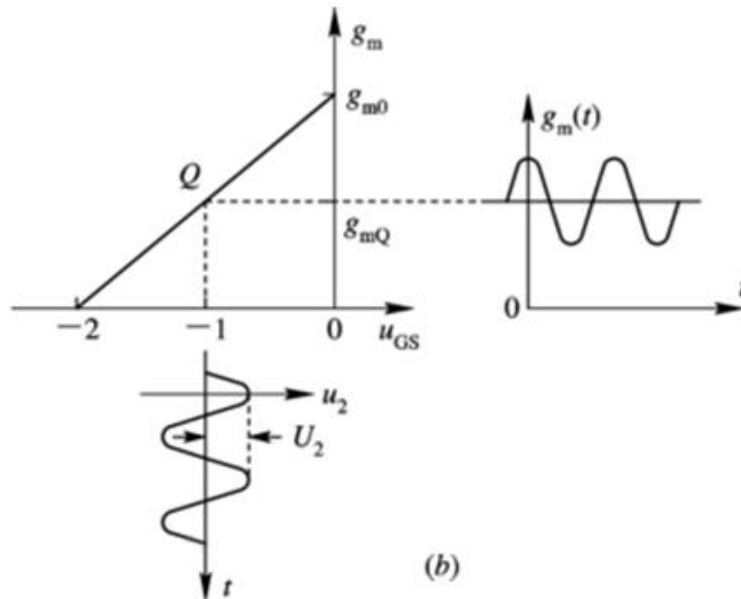
$$u_1 = U_1 \cos \omega_1 t$$

$$u_2 = U_2 \cos \omega_2 t \text{ 且 } U_1 \ll U_2$$

结型场效应管的电流与跨导特性

对于 u_{GS} 的时变跨导为 $g_m(t) = -\frac{2I_{DSS}}{V_P} \left(1 - \frac{E_{GS}}{V_P} \right) + 2I_{DSS} \frac{U_2}{V_P^2} \cos \omega_2 t$

$$\begin{aligned} i_D &= I_o(t) + g_m(t)u_1 \\ &= I_{DSS} \left(1 - \frac{E_{GS} + U_2 \cos \omega_2 t}{V_P} \right)^2 \\ &\quad + \left[-\frac{2I_{DSS}}{V_P} \left(1 - \frac{E_{GS}}{V_P} \right) + 2I_{DSS} \frac{U_2}{V_P^2} \cos \omega_2 t \right] U_1 \cos \omega_1 t \end{aligned}$$





作业

5. 1, 5. 2, 5. 3, 5. 4

